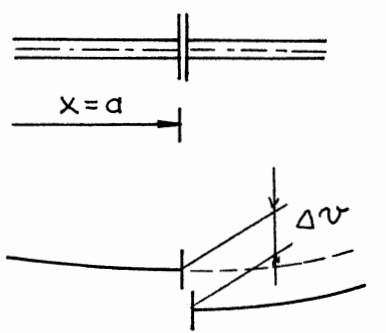


1. Valmistusvirheellinen palkki, jossa on kuvaan mukainen taite, pakotetaan vaaka-suoraksi kuvaan mukaiselle kolmelle jäykälle tuelle. Määritä kimmoviihan differentiaaliyhtälön ja reunaehojen avulla suoristetun palkin tukireaktiot. Käytä *kärkisulkeisfunktiota*. Palkin taivutusjäykkyys on EI .
2. Määritä kuvaan avoimen ja ohutseinäisen ($t \ll a$) poikkileikkauksen *leikkauskeskiön LK paikka* (etäisyys e). Poikkileikkausta rajaattaa alaspäin leikkausvoima Q .
3. Määritä kuvaan paloittain tasavahvan ulokepalkin kuormitettun pään pystysiirtymä käyttämällä *virtuaalisen työn* (tai potentiaalienergian minimin) periaatetta. Käytä taipumaaestimaattia
$$\tilde{v}(x) = C x^2$$
Vertaa tulosta tarkkaan arvoon $\frac{3}{2} Fa^3/EI$.
4. Määritä *ykkösvoimaperiaatteella* kuvaan palkin keskipisteen B pystysiirtymä. Palkin oikea puolisko on täysin jäykki. Vain taivutuksen osuus otetaan huomioon.

KÄÄNNÄ

Jos palkilla on sisäalueessa kinemaattisia syitä, joista johduu kimmoviihaan epäjatkuvutta tai derivaatan epäjatkuvutta, menetellään seuraavasti:

1° Johde, kohdassa $x=a$: Johde sallii sen eri puolilla olevien palkin osien välille relativisen siirtymän Δv , muttei sallitse suunnanmuutosta. Silloin kirjoitetaan

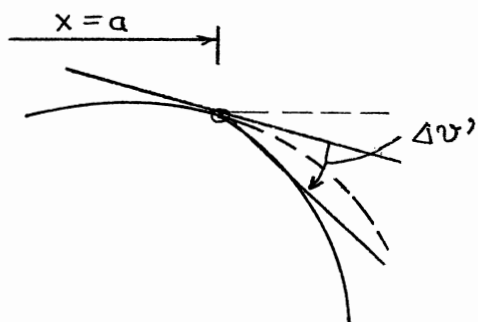


Kuva 7.1 Johde kohdassa $x=a$.

$$v(x) = v_1(x) + \Delta v <x-a>^0 \quad (7.1)$$

missä $v_1(x)$ on taipumaviiha palkille, jolla ei ole välillä "johdetusta", $v_1(x)$ on diff. yhtälön yleinen ratkaisu. Reunaehdoja sovelletaan vasta yhtälöön (7.1).

2° Nivel, kohdassa $x=a$:



Kuva 7.2 Nivel kohdassa $x=a$.

Nivel sallii sen eri puolilla olevien palkin osien välille relativisen suunnan muutoksen $\Delta v'$, muttei sallitse relativista siirtymää, joten

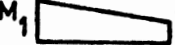
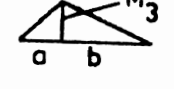
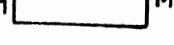
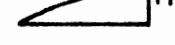
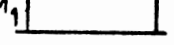
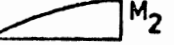
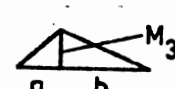
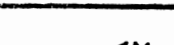
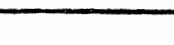
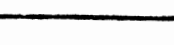
$$v'(x) = v_1'(x) + \Delta v' <x-a>^0 \quad (7.2)$$

$$\Rightarrow v(x) = v_1(x) + \Delta v' <x-a>^1 \quad (7.3)$$

$v_1(x)$ on yleinen ratkaisu. Reunaehdoja sovelletaan vasta yhtälöihin (7.2) ja (7.3).

Taulukko 1. Mohrin työintegraaleja.

Taulukossa on otsikon viivoitetun kolmio- tai trapetsifunktion \bar{M} ja kullakin rivillä esitetyn kolmio- trapatsi- tai paraabelifunktion M integraali. Kunkin paraabelin huippu on joko integroimisalueen L reunassa tai sen keskellä.

		$\int_0^L \bar{M} M dx$			$\int_0^L \bar{M} M dx$
1		$\frac{1}{3} L \bar{M}_2 M_2$	1		$\frac{1}{2} L (\bar{M}_1 + \bar{M}_2) M_1$
2		$\frac{1}{6} L \bar{M}_2 M_2$	2		$\frac{1}{6} L [\bar{M}_1 (2\bar{M}_1 + M_2) + \bar{M}_2 (M_1 + 2M_2)]$
3		$\frac{1}{6} L \bar{M}_2 M_3 (1 + \frac{b}{L})$	3		Kun $M = \bar{M}$, $\frac{1}{3} L (M_1^2 + M_1 M_2 + M_2^2)$
4		$\frac{1}{6} L \bar{M}_2 (M_1 + 2M_2)$	4		$\frac{1}{12} L (3\bar{M}_1 + 5\bar{M}_2) M_2$
5		$\frac{1}{2} L \bar{M}_2 M_1$	5		$\frac{1}{12} L (\bar{M}_1 + 3\bar{M}_2) M_2$
6		$\frac{5}{12} L \bar{M}_2 M_2$	6		$\frac{1}{3} L (\bar{M}_1 + \bar{M}_2) M_3$
7		$\frac{1}{4} L \bar{M}_2 M_1$	7		$\frac{1}{6} L [\bar{M}_1 (1 + \frac{b}{L}) + \bar{M}_2 (1 + \frac{a}{L})] M_3$
8		$\frac{1}{4} L \bar{M}_2 M_2$			
9		$\frac{1}{12} L \bar{M}_2 M_1$			
10		$\frac{1}{3} L \bar{M}_2 M_3$			

2305410 Palkkirakenteet

Kaavakokoelma/Tapio Salmi sl. 2003

$$f(x) = \langle x - a \rangle^n = \begin{cases} (x-a)^n, & x \geq a \\ 0, & x < a \end{cases} \quad \int_{-\infty}^x \langle x - a \rangle_{-1} dx = \langle x - a \rangle^0$$

$$\frac{d}{dx} \langle x - a \rangle^0 = \langle x - a \rangle_{-1} = \begin{cases} 0, & x < a \\ \infty, & x = a \\ 0, & x > a \end{cases} \quad EI(x) v''(x) = -M_t(x) \quad \sigma_x = \frac{M_t}{I_z} y$$

$$\frac{dR}{dx} = \tau_{sx} t = -\frac{Q_y S_z}{I_z} - \frac{Q_z S_y}{I_y} = \tau_{xs} t = q \quad \tau_{zx} = \tau_{xz} = \frac{\zeta}{z} \tau_{yx} \frac{dz}{dy}$$

$$A^\lambda = \iint_A dA^\lambda = \iint_A \lambda(y, z) dA \quad y_0^\lambda = S_z^\lambda / A^\lambda \quad z_0^\lambda = S_y^\lambda / A^\lambda$$

$$S_y^\lambda = \iint_A z dA^\lambda = \iint_A z \lambda(y, z) dA \quad S_z^\lambda = \iint_A y dA^\lambda = \iint_A y \lambda(y, z) dA$$

$$I_z^E = \iint_A E(y, z) y^2 dA \quad I_y^E = \iint_A E(y, z) z^2 dA$$

$$I_{yz}^E = \iint_A E(y, z) yz dA \quad I_z = I_\zeta + A y_0^2 \quad \varepsilon_x = \frac{N}{A^E}$$

$$\sigma_x(A) = \frac{E_A N}{A^E} + \frac{E_A M_{t\zeta}}{I_\zeta^E} \eta_A + \frac{E_A M_{t\eta}}{I_\eta^E} \zeta_A \quad \tan \beta = \frac{I_\zeta^E}{I_\eta^E} \tan \alpha \quad \delta W = F \delta u$$

$$[L_\sigma]\{\sigma\} + \{\underline{f}\} = \{0\} \quad [G]\{\sigma\} = \{\underline{p}\} \quad \{u\} = \{\underline{u}\} \quad W = \int_0^u F(\bar{u}) d\bar{u}$$

$$\delta W_u = \iint_{S_\sigma} \{\underline{p}\}^\top \{\delta u\} dS_\sigma + \iiint_V \{\underline{f}\}^\top \{\delta u\} dV \quad \delta W_s = - \iiint_V \{\sigma\}^\top \{\delta \varepsilon\} dV$$

$$\delta W_u + \delta W_s = 0 \quad \delta W_u = \delta W_\sigma \quad \delta W_\sigma = \iiint_V \{\sigma\}^\top \{\delta \varepsilon\} dV = -\delta W_s$$

$$\delta U = \iiint_V \{\sigma\}^\top \{\delta \varepsilon\} dV \quad \delta U_0 = \{\sigma\}^\top \{\delta \varepsilon\} \quad \delta W_u = \delta U \quad \delta W_u = -\delta V$$

$$\{\sigma\} = [E]\{\varepsilon\} \quad U_0 = \frac{1}{2} \{\sigma\}^\top \{\varepsilon\} = \frac{1}{2} \{\varepsilon\}^\top [E]\{\varepsilon\} \quad \pi = U + V$$

$$\delta U_0 = \{\varepsilon\}^\top [E]\{\delta \varepsilon\} \quad \delta \pi = 0 \quad \delta^2 \pi \geq 0 \quad \frac{\partial U}{\partial u_i} = F_i$$

$$\sigma_{ij} = \frac{\partial U_0}{\partial \varepsilon_{ij}} \quad U = \frac{1}{2} \int_0^L (EA(u_{,x})^2 + EI(v_{,xx})^2 + GA\gamma^2 + GI_v\Theta^2) dx$$

$$\begin{aligned}
p_x &= \sigma_x l + \tau_{xy} m + \tau_{xz} n & \sigma_{x,x} + \tau_{xy,y} + \tau_{xz,z} + f_x &= 0 \\
p_y &= \tau_{xy} l + \sigma_y m + \tau_{yz} n & \tau_{xy,x} + \sigma_{y,y} + \tau_{yz,z} + f_y &= 0 \\
p_z &= \tau_{xz} l + \tau_{yz} m + \sigma_z n & \tau_{xz,x} + \tau_{yz,y} + \sigma_{z,z} + f_z &= 0 \\
\varepsilon_x &= u_x & \varepsilon_y &= v_y & \varepsilon_z &= w_z \\
\gamma_{xy} &= u_{,y} + v_{,x} & \gamma_{yz} &= v_{,z} + w_{,y} & \gamma_{xz} &= u_{,z} + w_{,x} & \delta W^* = u \delta F \\
\delta W^* &= \{u\}^\top \{\delta F\} & \delta W_u^* &= \iint_S \{u\}^\top \{\delta p\} dS + \iiint_V \{u\}^\top \{\delta f\} dV & \delta W_u^* + \delta W_s^* &= 0 \\
\delta W_s^* &= - \iiint_V \{\varepsilon\}^\top \{\delta \sigma\} dV & \delta W_\varepsilon^* &= \iiint_V \{\varepsilon\}^\top \{\delta \sigma\} dV & \delta W_u^* &= \delta W_\varepsilon^* \\
\delta W_\varepsilon^* &= \sum_{v=1}^n \int_{L_v} (\varepsilon_0 \delta N + \kappa_y \delta M_{ty} + \kappa_z \delta M_{tz} + \gamma_y \delta Q_y + \gamma_z \delta Q_z + \Theta \delta T) dx \\
u_i \cdot 1 &= \iiint_V \{\varepsilon\}^\top \{\bar{\sigma}\} dV \\
u_i \cdot 1 &= \sum_{v=1}^n \int_{L_v} (\varepsilon_0 \bar{N} + \kappa_y \bar{M}_{ty} + \kappa_z \bar{M}_{tz} + \gamma_{xy} \bar{Q}_y + \gamma_{xz} \bar{Q}_z + \Theta \bar{T}) dx \\
u_i \cdot 1 &= \sum_{v=1}^n \int_{L_v} \frac{N \bar{N}}{EA} dx & u_i \cdot 1 &= \sum_{v=1}^n \int_{L_v} \frac{M_{ty} \bar{M}_{ty}}{EI_y} dx & [a] \{X\} + \{u_0\} &= \{u\} \\
u_{0i} &= \sum_{v=1}^n \int_{L_v} \frac{M_{t0} \bar{M}_{ti}}{EI} dx & a_{ij} &= \sum_{v=1}^n \int_{L_v} \frac{\bar{M}_{ti} \bar{M}_{tj}}{EI} dx & u &= \sum_{v=1}^n \int_{L_v} \frac{M_t \bar{M}_{tu}}{EI} dx \\
M_t(x) &= M_{t0}(x) + \sum_{i=1}^m X_i \bar{M}_{ti}(x) & v(x) &= v_0(x) + \sum_{i=1}^m X_i \bar{v}_i(x) \\
\varepsilon_{ij} &= \frac{\partial U_0^*}{\partial \sigma_{ij}} & \delta U_0^* &= \iiint_V \{\varepsilon\}^\top \{\delta \sigma\} dV & \delta W_u^* &= -\delta V^* & \pi^* = U^* + V^* \\
\delta \pi^* &= 0 & u_i &= \frac{\partial U^*}{\partial F_i} & \{F\}^\top \{u^P\} &= \{P\}^\top \{u^F\} \\
U^* &= \frac{1}{2} \int_L \left(\frac{N^2}{EA} + \frac{M_{ty}^2}{EI_y} + \frac{M_{tz}^2}{EI_z} + \zeta_y \frac{Q_y^2}{GA} + \zeta_z \frac{Q_z^2}{GA} + \frac{T^2}{GI_v} \right) dx
\end{aligned}$$